

北海道大学工学部 学生員 竹内 貴弘
 北海道大学工学部 小野 敏行
 北海道大学工学部 正員 佐伯 浩

1. 目的

直立海洋構造物に作用する氷力 F を求める式には、APIの式、ソ連の式、AASHOの式、カナダのBridge Code 等の式、実験式としては、佐伯の式、平山の式、中島の式、理論式では、Reinickeの式、Crossdaleの式、Michelの式、また賃入試験のそれを組み合せて作ったKorzhavineの式等多数が報告されている。しかし、過剰の氷力を与えたり、構造物の代表径 W が小さい場合にしか適用できないものもある。今回の研究において特に問題となるのは、氷力 F に関係する因子の W 、氷厚 h 、一軸圧縮強度 σ_c の中の決め方であり、どういう供試体を用いたどういう試験法であるかという事。第二に、氷と構造物の相対速度 V により氷力 F は異なる値を示し、その扱い方をどうするか。第三に、最近は構造物が slender なものから massive なものへと変化し、大きさ W について考慮する必要性が生じた事である。これらの三つの問題について、 V と W の値によって氷力式をどのようにすべきか考察することにした。

2. 考察

佐伯の式は、

$$F = C \cdot \sqrt{W} \cdot h \cdot \sigma_c \quad (1)$$

C は構造物の断面形状による係数（円形は 5.0、矩形は 6.8、交角 90° の楔形は 4.5）で、 W は構造物の最大幅、 h は氷厚、 σ_c は一軸圧縮強度である。まず σ_c は、歪速度 $\dot{\epsilon}$ の関数であり、 $\dot{\epsilon}$ は賃入速度 V と W の関数で Michel の式を $\dot{\epsilon} = V/4 \cdot W$ で示される。よって σ_c は V と W に依存する。しかし、 W は構造物を建設する場所により決定されますが、 $\dot{\epsilon}$ の値を決定するのは大変であるから σ_c は従来の一軸圧縮試験により別に求め、その時の条件としては最大の $\dot{\epsilon}$ を与える 1×10^3 より 3×10^3 の範囲で行う。供試体の高さは 20cm、径 10cm の円柱形を用いることとする。したがって、 σ_c は一定にしておいて V の値に応じて F の値を変えてやるために、(1)式に係数 K (Force factor) をかけることとする。よって、

$$F = K \cdot C \cdot \sqrt{W} \cdot h \cdot \sigma_c \quad 0 < K < 1 \quad (2)$$

ここで、実際の氷板は、 $0 \sim 1.5$ ノット ($0 \sim 70$ cm/sec) とややく変化し、沖では遠く岸では遅いという特徴がある。また、(1)式は W が小さく、 W も小さい条件で求めた式であるから、第三の問題点である massive な構造物すなわち W の値が大きい場合にはどうすれば適応できるかという事になる。そこで、例として最大の氷力 F を与える $\dot{\epsilon} = 3 \times 10^3$ の値を用いて $V = 70$ cm/sec の時 $\dot{\epsilon} = V/4 \cdot W$ より $W = 58$ m ぐらいで氷力最大で、 W がそれ以上でも以下でも(2)式から求めることとなる。同様に、 $V = 10$ cm/sec では $W = 8$ m で氷力最大で、それ以外を(2)式から求める。しかし、最近の構造物は、 W が $100 \sim 150$ m になっており $\dot{\epsilon} = V/4 \cdot W$ の分母が大きくなり、 $\dot{\epsilon}$ は $0 \sim 70$ cm/sec であるから $\dot{\epsilon} = 3 \times 10^3$ より小さくなってしまって、(1)式だと過剰の F を与えることになり(2)式の意味が出てくる。そこで、 F

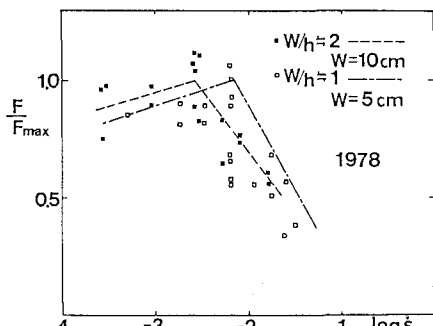


図 1

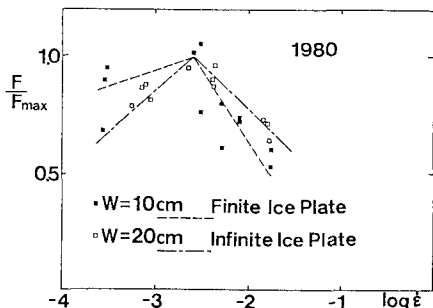


図 2

との関係を調べることとする。図1は、1978年に氷力測定装置によってアスペクト比 λ を、2.0と1.0の二通りについて調べたもので、 $\log \dot{\epsilon} = -2.5$ ぐらいでピークをもつことが分りその時を1として書かれたグラフであり、それぞれのとに対しても $0 < F/F_{max} < 1$ の範囲で変化し F_{max} の何割に相当するかを知ることが出来る。図2も同様であるが、W=20cmの時は実際の氷板(無限氷板)を使った現地試験の結果であり、W=10cmは氷力測定装置による値である。これらを比べることにより室内試験の精度の高さを示し、図1と同様にとに応じて F_{max} の何割に相当するかを知ることが出来る。次に、図3は、Michel and Paradis(1976年), Michel and Carter(1972年)らが測定した結果であるが、その値を用いて縦軸を F_{max} で割って図1,2と同様にとの関係が求められるように書き換えたものである。これによると、 $-8 < \log \dot{\epsilon} < -7$ という広い範囲にわたっており、縦軸を対数とすると図のようなピークをもつ曲線となる。さらに $\log \dot{\epsilon}$ の範囲を広げるために衝撃試験の結果を載せる。図4がそうであり $V=740\text{ cm/sec}$ と一定であることからWの値に応じて λ が求まり($1.09 < \log \dot{\epsilon} < 1.79$)、限界線 $F = 3.6/\sqrt{W \cdot h \cdot \sigma_c}$ と $F = 5.0/\sqrt{W \cdot h \cdot \sigma_c}$ の両式から $F/F_{max} = 0.72$ が求まる。以上の4つの図を1つにまとめたのが図5である。ここで縦軸をK($=F/F_{max}$)とした。このKは(2)式のものと同じであつてForce factorのことである。また、 $\log \dot{\epsilon} < -3.3$ ではMichelの線、 $\log \dot{\epsilon} > 1$ では衝撃試験による線、その間は5つの線を包む実線で結んだ。

以上により、一軸圧縮試験により λ を求め、 V とWが分かれれば λ が計算され $\log \dot{\epsilon}$ の値によって図5からKが決定する。例として、W=100m V=0~10cm/secなら $\dot{\epsilon}=0\sim 0.00025$ で $\log \dot{\epsilon} < -3.6$ によって図5から最大のKがあふれ0.82と求められる。あとは(2)式から氷力Fをえる。もし、W=100m V=0~70cm/secなら $\dot{\epsilon}=0\sim 0.00175$ で $\log \dot{\epsilon} < -2.76$ よりピークまで達し $K=1$ より(1)式から氷力Fをえる。

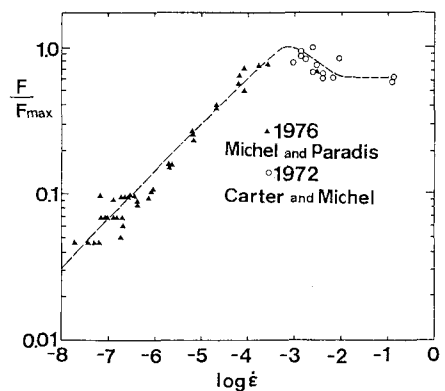


図 3

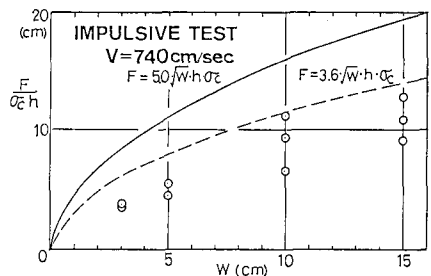


図 4

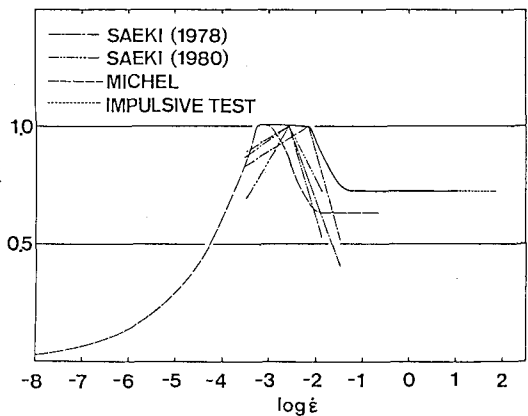


図 5

参考文献

佐伯浩；海氷の強度特性と海岸・海洋構造物の耐氷設計法に関する研究 1983

B.Michel and N.Toussaint ; Mechanisms and Theory of Indentation of Ice Plates 1977